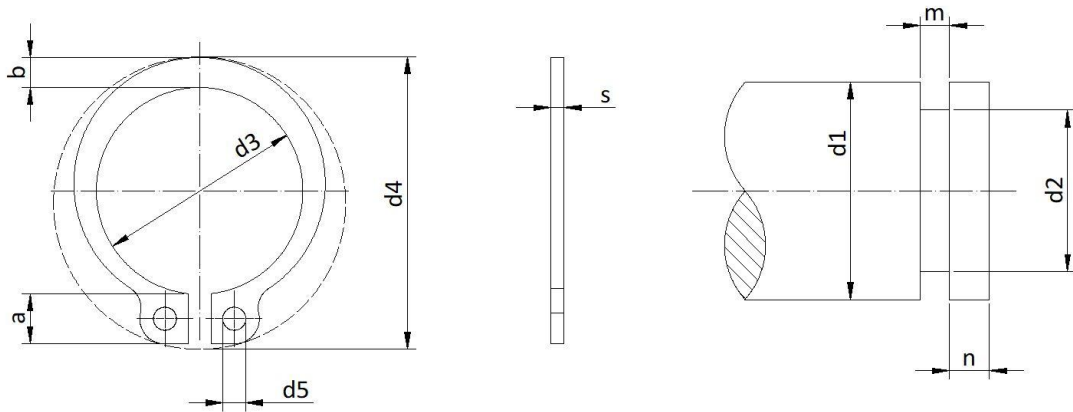
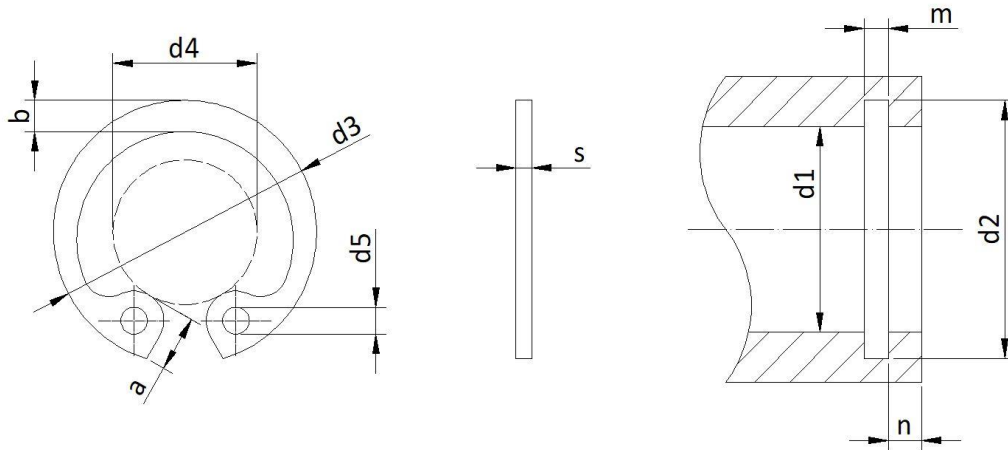


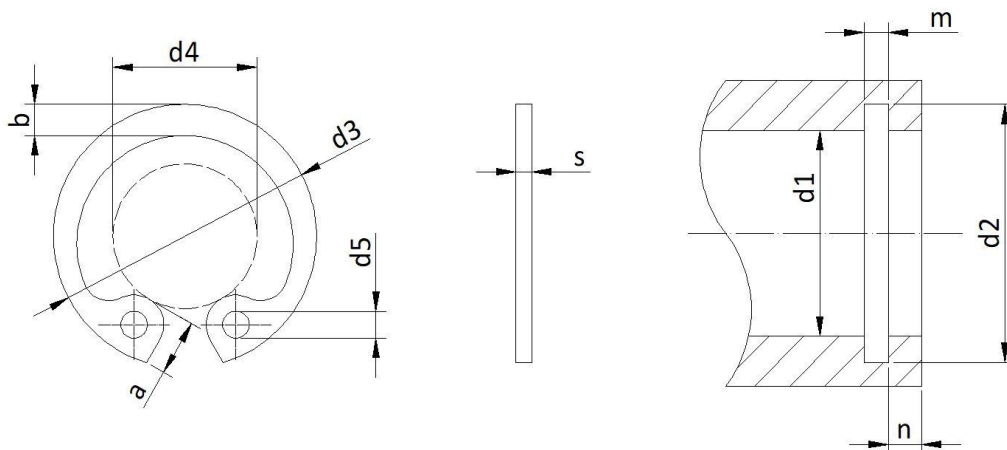
Nom.	Circlip								Groove				Axial load [kN]				
	$\phi$ d1 [mm]	s h11 [mm]	a max. [mm]	b ≈ [mm]	d3 [mm]	Toler. [mm]	d4 [mm]	d5 [mm]	Weight x1000 un. [kg]	d2 [mm]	Toler. [mm]	m H13 [mm]		n min. [mm]			
4	0,4	2,2	0,9	3,7	+0,04 -0,15	8,6	1	0,022	3,8	h10 +0 -0,04	0,5	0,3	0,2				
5	0,6	2,5	1,1	4,7		10,3		0,066	4,8		0,7		0,2				
6	0,7	2,7	1,3	5,6		11,7	1,15	0,084	5,7		0,8	0,4					
7	0,8	3,1	1,4	6,5	+0,06 -0,18	13,5	1,2	0,121	6,7	h10 +0 -0,06	0,9	0,45	0,5				
8		3,2	1,5	7,4		14,7		0,158	7,6		0,9		0,8				
9	1	3,3	1,7	8,4		16	1,5	0,3	8,6		h11 +0 -0,11	1,1	0,6	0,9			
10			9,3	17	0,34	9,6		1									
11			10,2	18	0,41	10,5	0,75	1,4									
12		11	19	0,5	11,5	1,7	0,75	1,5	0,9	1,2			1,1	0,9	1,5		
13		3,4	2	11,9	10,2										0,53	12,4	2
14		3,5	2,1	12,9	21,4										0,64	13,4	2,1
15		3,6	2,2	13,8	22,6										0,67	14,3	2,6
16	3,7	14,7		23,8	0,7	15,2	3,2										
17	3,8	2,3	15,7	25	0,82	16,2	3,4										
18	1,2	3,9	2,4	16,5	+0,13 -0,42	26,2	2	1,11	17	h12 +0 -0,21	1,3	1,5	4,5				
19			2,5	17,5		27,2		1,22	18				4,8				
20		4	2,6	18,5		28,4	1,3	19	5								
21		4,1	2,7	19,5		29,6	1,42	20	5,3								
22		4,2	2,8	20,5		30,8	1,5	21	5,6								
24		4,4	3	22,2		33,2	1,77	22,9	6,7								
25				23,2		34,2	1,9	23,9	7								
26	24,2			35,5	1,96	24,9	7,3										
28	1,5	4,7	3,2	25,9	+0,21 -0,42	37,9	2,5	2,92	26,6	h12 +0 -0,25	1,6	2,1	10				
29		4,8	3,4	26,9		39,1		3,2	27,6				10,3				
30		5	3,5	27,9		40,5		3,31	28,6			10,7					
32		5,2	3,6	29,6		43	3,54	30,3	13,8								
34		5,4	3,8	31,5		45,4	3,8	32,3	14,7								
35		5,6	3,9	32,2		46,8	4	33	17,8								



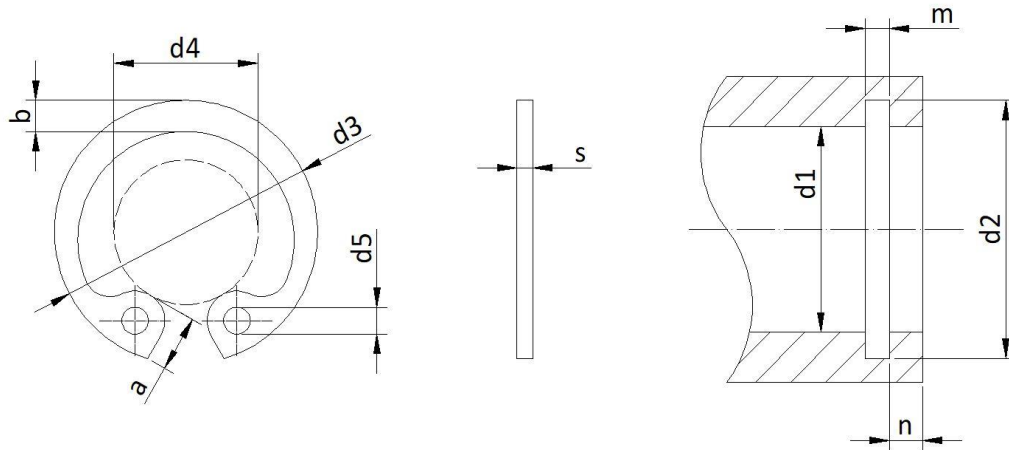
Nom.	Circlip								Groove				Axial load [kN]
	$\phi$ d1 [mm]	s h11 [mm]	a max. [mm]	b ≈ [mm]	d3 [mm]	Toler. [mm]	d4 [mm]	d5 [mm]	Weight x1000 un. [kg]	d2 [mm]	Toler. [mm]	m H13 [mm]	
36	1,75	5,6	4	33,2	+0,25	47,8	2,5	5	34	h12 +0 -0,25	1,85	3	18,13
38		5,8	4,2	35,2	-0,50	50,2		5,62	36				19,3
40		6	4,4	36,5	+0,39 -0,9	52,6		6,03	37,5			3,8	25,3
42		6,5		38,5		55,7		6,5	39,5				26,7
45		6,7	4,7	41,5		59,1		7,5	42,5				28,6
48		6,9	5	44,5		62,5		7,9	45,5				30,7
50	2	5,1	45,8	64,5	+0,46 -1,1	66,7	3	10,2	47	h12 +0 -0,30	2,15	4,5	38
52		7	5,2	47,8		71,6		11,1	49				39,7
55		7,2	5,4	50,8		73,6		11,4	52				42
56		7,3	5,5	51,8		77,8		11,8	53				42,8
58		7,3	5,6	53,8		79		12,6	55				43,4
60		7,4	5,8	55,8		77,8		12,9	57				46
62		7,5	6	57,8		77,8		14,3	59				47,5
63		7,6	6,2	58,8		79		15,9	60				48,3
65		7,8	6,3	60,8		81,4		18,2	62				49,8
68		8	6,5	63,5		84,8		21,8	65				52,2
70	2,5	8,1	6,6	65,5	87	22	67	53,8					
72		8,2	6,8	67,5	89,4	22,5	69	55,3					
75		8,4	7	70,5	92,8	24,6	72	57,6					
78		8,6	7,3	73,5	96,2	26,2	75	60					
80		8,6	7,4	74,5	98,2	27,3	76,5	71,6					
82		8,7	7,6	76,5	100	31,2	78,5	73,5					
85	3	7,8	79,5	104	+0,54 -1,30	107	3,5	36,4	81,5	h12 +0 -0,35	3,15	5,3	76,2
88		8,8	8	82,5		107		41,2	84,5				79
90		8,8	8,2	84,5		109		44,5	86,5				80
95		9,4	8,6	89,5		115		49	91,5				85
100		9,6	9	94,5		121		53,7	96,5				90



Nom.	Circlip								Groove				Axial load [kN]				
	$\phi$ d1 [mm]	s h11 [mm]	a max. [mm]	b ≈ [mm]	d3 [mm]	Toler. [mm]	d4 [mm]	d5 [mm]	Weight x1000 un. [kg]	d2 [mm]	Toler. [mm]	m H13 [mm]		n min. [mm]			
8	0,8	2,4	1,1	8,7	+0,36 -0,10	3	1	0,1	8,4	H11 +0,09 -0	0,9	0,6	0,86				
9		2,5	1,3	9,8		3,7		0,13	9,4								
10	1	3,2	1,4	10,8	+0,42 -0,13	3,3	1,2	0,26	10,4	H11 +0,11 -0	1,1	0,75	1,17				
11		3,3	1,5	11,8		4,1		0,31	11,4								
12		3,4	1,7	13		4,9	1,5	0,37	12,5			0,9	2,1				
13		3,6	1,8	14,1		5,3		0,42	13,6								
14		3,7	1,9	15,1		6,2	1,7	0,52	14,6			1,1	2,25				
15			2	16,2		7,2		0,56	15,7								
16		3,8	2	17,3		8	1,7	0,6	16,8			1,1	2,8				
17		3,9	2,1	18,3		8,8		0,65	17,8								
18		4,1	22	19,5		9,4	2	0,74	19			1,5	3,6				
19				20,5		10,4		0,83	20					H11 +0,13 -0	1,5	4,8	
20	4,2	2,3	21,5	11,2	0,9	21	1,5	5,1									
21		2,4	22,5	12,2	1	22			5,7								
22	2,5	23,5	13,2	1,1	23	5,9											
23	4,4	2,6	24,6	13,6	2		1,34	24,1	1,8	7,7							
24			25,9	14,8		1,42	25,2										
25	4,5	2,7	26,9	15,5	1,5	26,2	H12 +0,21 -0	1,8	8								
26	4,7	2,8	27,9	16,1	1,6	27,2											
27	1,2	4,8	2,9	29,1	+0,50 -0,25	16,5	2,5	1,75	28,3	H12 +0,25 -0	1,3	2,1	10,1				
28			30,1	17,9		1,8		29,4	10,5								
29			31,1	18,5		1,88		30,4						10,9			
30			32,1	19,9		2,06		31,4							11,3		
31			5,2	3,2		33,4		20								2,1	14,1
32			5,4	3,2		34,4		10,6									
33	3,3	35,5		10,8	2,4	34,7	15										



Nom.	Circlip								Groove				Axial load [kN]	
	$\phi$ d1 [mm]	s h11 [mm]	a max. [mm]	b ≈ [mm]	d3 [mm]	Toler. [mm]	d4 [mm]	d5 [mm]	Weight x1000 un. [kg]	d2 [mm]	Toler. [mm]	m H13 [mm]		n min. [mm]
34	1,5	5,4	3,3	36,5	+0,50 -0,25	22,6	2,5	3,2	35,7	H12 +0,25 -0	1,6	3	2,6	15,4
35			3,4	37,8		23,6		3,54	37				18,8	
36			3,5	38,8		24,6		3,7	38				19,4	
37		5,5	3,6	39,8		25,4		3,74	39			19,8		
38			3,7	40,8		26,4		3,9	40			22,5		
39			3,8	42		26,5		4	41			26		
40	1,75	5,8	3,9	43,5	+0,9 -0,39	27,8	2,5	4,7	42,5	H12 +0,25 -0	1,85	3,8	27	
41			4	44,5		28		5,1	43,5				27,6	
42		5,9	4,1	45,5		29,6		5,4	44,5				28,4	
44			6	47,5		31		5,8	46,5				29,5	
45		6,2	4,3	48,5		32		6	47,5				30,2	
46		6,3	4,4	49,5		32,2		6,05	48,5				30,8	
47		6,4		50,5		33,5		6,1	49,5				31,4	
48			4,5	51,5		34,6		6,7	50,5				32	
50	2	6,5	4,6	54,2	36,3	7,3	53	40,5						
52		6,7	4,9	56,2	37,9	8,2	55	41,2						
53				57,2	38,5	8,22	56	42						
54			58,2	39,9	8,25	57	43,6							
55		6,8	5	59,2	40,7	8,3	58	44,4						
56				60,2	41,7	8,8	59	45,2						
57		5,1	61,2	42,2	9,4	60	46							
58		6,9	5,2	62,2	43,5	10,5	61	46,7						
60		7,3	5,4	64,1	44,7	11,1	63	48,3						
62			5,5	66,2	46,7	11,2	65	49,8						
63	5,6		67,2	47,7	12,4	66	50,6							



Nom.	Circlip								Groove				Axial load [kN]		
	$\phi$ d1 [mm]	s h11 [mm]	a max. [mm]	b ≈ [mm]	d3 [mm]	Toler. [mm]	d4 [mm]	d5 [mm]	Weight x1000 un. [kg]	d2 [mm]	Toler. [mm]	m H13 [mm]		n min. [mm]	
65	2,5		7,6	5,8	69,2	+1,1 -0,46	49	3	14,3	68	H12 +0,30 -0	2,65	4,5	51,8	
67			7,7	6	71,5		50		15,3	70				53,8	
68			7,8	6,1	72,5		51,6		16	71				56,2	
70				6,2	74,5		53,6		16,5	73				56,2	
72				6,4	76,5		55,6		18,1	75				58	
75				6,6	79,5		58,6		18,8	78				60	
77			7,9	6,7	81,5		59		22,3	80				61,6	
78			8,5	7	6,8		82,5		60,1	20,4				81	62,3
80					62,1		22		83,5	74,6					
82					64,1		24		85,5	76,6					
85	66,9	25,3			88,5	79,5									
87	3	8,6	7,2	90,5	68,8	31	90,5	81,3							
88			7,3	92,5	69,9	31	91,5	82							
90			7,4	93,5	71,9	33	93,5	84							
92			7,6	95,5	73,7	35	95,5	85							
95			7,8	97,5	76,5	37	98,5	88							
98			8,1	100,5	79	41	101,5	91							
99			8,3	103,5	80,6	42	103,5	93							
100			8,4	105,5											